

УДК 532.5

ТЕРМОКОНЦЕНТРАЦИОННАЯ КОНВЕКЦИЯ В СИСТЕМЕ ВЯЗКОЙ ЖИДКОСТИ И БИНАРНОЙ СМЕСИ В ПЛОСКОМ КАНАЛЕ ПРИ МАЛЫХ ЧИСЛАХ МАРАНГони

М. В. Ефимова^{*,**}, Н. Дараби^{**}

* Институт вычислительного моделирования СО РАН, 660036 Красноярск, Россия

** Сибирский федеральный университет, 660036 Красноярск, Россия

E-mails: efmavi@icm.krasn.ru, nematdarabi@gmail.com

Исследована сопряженная начально-краевая задача, имеющая место при движении бинарной смеси и вязкой теплопроводной жидкости с общей поверхностью раздела под действием терموконцентрационных сил. Найдено решение, описывающее стационарное течение в слоях, распределение температуры и концентрации. С использованием метода преобразования Лапласа получено нестационарное решение задачи в изображениях, позволяющее описать эволюцию движения с помощью численного обращения изображений.

Ключевые слова: начально-краевая задача, преобразование Лапласа, бинарная смесь, термоконцентрационный эффект.

DOI: 10.15372/PMTF20180511

Введение. Исследование конвективного переноса массы, тепла и других физических величин в жидкостях имеет большое значение как в фундаментальной науке, так и при практическом применении. В ряде работ при анализе данного процесса особое внимание уделяется изучению влияния термоконцентрационных эффектов на возникновение и эволюцию конвективных течений. Так, в [1] описана начально-краевая задача о движении двух несмешивающихся вязких теплопроводных жидкостей с общей поверхностью раздела, исследованы некоторые проблемы устойчивости соответствующих течений. В [2] анализировалось движение двух вязких теплопроводных жидкостей в плоском слое под действием перепада давления. Однонаправленное движение бинарной смеси и вязкой теплопроводной жидкости в теплоизолированной цилиндрической трубе под действием градиента давления рассмотрено в работе [3]. На практике часто встречается совместное движение трех жидкостей, контактирующих по некоторым поверхностям, одна из таких задач изучалась в [4].

В настоящей работе исследовано двухслойное течение системы бинарной смеси и вязкой жидкости с общей поверхностью раздела при локальном нагреве твердых стенок по параболическому закону. Построено точное решение стационарной задачи. Решение нестационарной задачи методом Лапласа позволило описать термоконцентрационное движение системы в зависимости от градиента поверхностного натяжения.

Работа выполнена при финансовой поддержке Российского фонда фундаментальных исследований (код проекта 17-01-00229).

© Ефимова М. В., Дараби Н., 2018

Постановка задачи. Пусть бинарная смесь заполняет находящийся на твердой неподвижной подложке ($y = 0$) слой, размеры которого задаются следующим образом: $|x| < \infty$, $0 < y < l_1(x, t)$. Над этим слоем расположен слой вязкой теплопроводной жидкости с размерами $|x| < \infty$, $l_1(x, t) < y < l_2$, где $y = l_2 = \text{const}$ — твердая неподвижная стенка. Таким образом, линия $y = l_1(x, t)$ является границей раздела двух сред. Система находится в условиях невесомости. Пусть ρ_{j0} — постоянные плотности сред при средних значениях температуры и концентрации; θ_j , C — отклонения температуры и концентрации легкого компонента от средних значений. Тогда движение жидкостей описывается системой уравнений

$$\begin{aligned} \mathbf{u}_{jt} + (\mathbf{u}_j \cdot \nabla) \mathbf{u}_j &= -\frac{1}{\rho_j} \nabla p_j + \nu_j \Delta \mathbf{u}_j, & \theta_{jt} + \mathbf{u}_j \cdot \nabla \theta_j &= \chi_j \Delta \theta_j, \\ C_t + \mathbf{u}_1 \cdot \nabla C &= d \Delta C + \alpha d \Delta \theta_1, & \text{div } \mathbf{u}_j &= 0, \end{aligned}$$

где $\mathbf{u}_j = (u, v)$ — вектор скорости; p_j — отклонение давления от гидростатического; ρ_j — плотность; ν_j — кинематическая вязкость; χ_j — температуропроводность; d — коэффициент диффузии; α — параметр термодиффузии. Характеристики среды полагаются постоянными и соответствуют средним значениям температуры и концентрации.

Предположим, что коэффициент поверхностного натяжения σ на границе раздела зависит от температуры и концентрации $\sigma = \sigma(\theta, C)$, причем для многих смесей он хорошо аппроксимируется линейной зависимостью $\sigma(\theta_1, C) = \sigma^0 - \varkappa_1 \theta_1 - \varkappa_2 C$, где σ^0 , \varkappa_1 , \varkappa_2 — постоянные.

Зададим условия на поверхности раздела $y = l_1(x, t)$:

$$\begin{aligned} u_1 = u_2, \quad v_1 = v_2 = 0, \quad \rho_2 \nu_2 (u_{2y} + v_{2x}) - \rho_1 \nu_1 (u_{1y} + v_{1x}) &= -\varkappa_1 \theta_{1x} - \varkappa_2 C_x, \\ \theta_1 = \theta_2, \quad k_2 \theta_{2y} - k_1 \theta_{1y} = 0, \quad c_y + \alpha_1 \theta_{1y} &= 0, \end{aligned}$$

граничные условия на твердых стенках:

$$\begin{aligned} y = 0: \quad \mathbf{u}_1 = 0, \quad \theta_1 = \theta_{10}(x, t), \quad c_{1y} + \alpha_1 \theta_{1y} &= 0, \\ y = l_2: \quad \mathbf{u}_2 = 0, \quad \theta_2 = \theta_{20}(x, t) \end{aligned}$$

и начальные условия при $t = 0$:

$$\mathbf{u}_j = \mathbf{u}_{0j}, \quad \text{div } \mathbf{u}_{0j} = 0, \quad \theta_j = \theta_{0j}, \quad c_j = c_{0j}.$$

Введем безразмерные независимые переменные $\xi = x/l_{10}$, $\eta = y/l_{10}$, $\tau = \nu_1 t/l_{10}^2$, а также скорости, давления, температуры и концентрацию:

$$\mathbf{u}_j^* = \frac{\rho_{10} \nu_1}{\varkappa_1 \Delta \theta} \mathbf{u}_j, \quad P_j^* = \frac{l_{10}}{\varkappa_1 \Delta \theta} P_j, \quad \theta_j^* = \frac{1}{\Delta \theta} \theta_j, \quad C^* = \frac{\beta_1^c}{\beta_1^\theta \Delta \theta} C.$$

Здесь $\Delta \theta$ — характерный перепад температур; $l_{10} = \max |l_1(x, 0)|$. Тогда уравнения движения сред записываются в безразмерном виде

$$\begin{aligned} u_{j\tau} + \text{Ma} (u_j u_{j\xi} + v_j u_{j\eta}) + \frac{\rho_{j0}}{\rho_{10}} P_{j\xi} &= \frac{\nu_j}{\nu_1} (u_{j\xi\xi} + u_{j\eta\eta}), \\ v_{j\tau} + \text{Ma} (u_j v_{j\xi} + v_j v_{j\eta}) + \frac{\rho_{j0}}{\rho_{10}} P_{j\eta} &= \frac{\nu_j}{\nu_1} (v_{j\xi\xi} + v_{j\eta\eta}), \\ \theta_{j\tau} + \text{Ma} (u_j \theta_{j\xi} + v_j \theta_{j\eta}) &= \frac{\chi_j}{\nu_1} (\theta_{j\xi\xi} + \theta_{j\eta\eta}), \\ C_\tau + \text{Ma} (u_1 C_\xi + v_1 C_\eta) &= \frac{1}{\text{Sc}} (C_{\xi\xi} + C_{\eta\eta} - \psi(\theta_{1\xi\xi} + \theta_{1\eta\eta})), \\ u_{j\xi} + v_{j\eta} &= 0 \end{aligned} \tag{1}$$

(звездочка далее опускается; u_j, v_j — компоненты скоростей).

Система (1) содержит пять безразмерных параметров: тепловое число Марангони $Ma = \varkappa_1 \Delta \theta l_{10} / (\rho_{10} \nu_1^2)$, числа Прандтля $Pr_j = \nu_j / \chi_j$ и Шмидта $Sc = \nu_1 / D$, аналог параметра разделения $\psi = -\alpha \beta_1^c / \beta_1^\theta$, отношение кинематических вязкостей $\nu = \nu_2 / \nu_1$. Индекс j соответствует номеру жидкости, первая жидкость расположена внизу.

Далее будем полагать, что движение в слоях является ползущим ($Ma \ll 1$). В таком случае рассматриваемая задача становится линейной, ее решение в виде

$$\begin{aligned} u_j &= U_j(\eta, \tau)\xi, & v_j &= V_j(\eta, \tau), & \theta_j &= A_j(\eta, \tau)\xi^2 + B_j(\eta, \tau), \\ c_1 &= H_1(\eta, \tau)\xi^2 + E_1(\eta, \tau), & p_j &= P(\xi, \eta, \tau) \end{aligned} \quad (2)$$

можно интерпретировать следующим образом. Достаточно протяженный слой системы (отношение характерной толщины слоя к его длине мало) в окрестности точки $\xi = 0$ нагревается, причем температура твердых стенок в этой точке имеет максимум или минимум. Тогда в окрестности точки $\xi = 0$ температура аппроксимируется по параболическому закону. Дальнейшее движение смеси описывается формулами (2). Вследствие эффекта Соре распределение концентрации в слое бинарной смеси описывается параболическим законом.

Поле скоростей в (2) соответствует известному решению Хименца для чисто вязкой жидкости, описывающему натекание жидкости из бесконечности на плоскость $y = 0$ с условием прилипания на ней [5]. В работе [6] данное решение применялось для течения между двумя пластинами или течения в цилиндрической трубе (осесимметричный аналог решения (2)). Для движущихся пластин нестационарное решение (2) рассмотрено в работе [7], результаты которой в [8, 9] развиты на случай, когда расстояние между пластинами меняется по степенному закону в зависимости от времени. В работе [10], являющейся обобщением работы [5], построено решение задачи о нестационарном натекании вязкой жидкости на стенку. Теоретико-групповая природа решений (2) уравнений Навье — Стокса установлена в [11].

Подставляя решение (2) в линейную ($Ma = 0$) систему (1), получаем уравнения

$$\begin{aligned} A_{j\tau} &= \frac{\chi_j}{\nu_1} A_{j\eta\eta}, & B_{j\tau} &= \frac{\chi_j}{\nu_1} (2A_j + B_{j\eta\eta}), & H_{1\tau} &= \frac{1}{Sc} (H_{1\eta\eta} - \psi A_{1\eta\eta}), \\ E_{1\tau} &= \frac{1}{Sc} (2H_1 + E_{1\eta\eta} - \psi(2A_1 + B_{1\eta\eta})), & -U_{j\tau} + \frac{\nu_j}{\nu_1} U_{j\eta\eta} &= S_j(\tau), & V_{j\eta} + U_j &= 0. \end{aligned} \quad (3)$$

Функции $P_j(\xi, \eta, \tau)$ имеют представления

$$\frac{\rho_1}{\rho_j} P_j = S_j(\tau) \frac{\xi^2}{2} + h_j,$$

при этом

$$h_{j\eta} = \frac{\nu_j}{\nu_1} V_{j\eta\eta} - V_{j\tau}.$$

Граничные условия на твердых стенках записываются в виде

$$\begin{aligned} U_1(0, \tau) &= 0, & U_2(l, \tau) &= 0, & A_1(0, \tau) &= A_{10}(\tau), & A_2(l, \tau) &= A_{20}(\tau), \\ B_1(0, \tau) &= B_{10}(\tau), & B_2(l, \tau) &= B_{20}(\tau), \\ H_{1\eta}(0, \tau) - \psi A_{1\eta}(0, \tau) &= 0, & E_{1\eta}(0, \tau) - \psi B_{1\eta}(0, \tau) &= 0, \end{aligned} \quad (4)$$

на поверхности раздела при $\eta = 1$ — в виде

$$\begin{aligned} U_1 &= U_2, & \mu U_{2\eta} - U_{1\eta} &= -2A_1 - 2\omega H_1, & A_1 &= A_2, & A_{1\eta} &= kA_{2\eta}, \\ B_1 &= B_2, & B_{1\eta} &= kB_{2\eta} & H_{1\eta} - \psi A_{1\eta} &= 0, & E_{1\eta} - \psi B_{1\eta} &= 0; \end{aligned} \quad (5)$$

$$\int_0^1 U_1(z, \tau) dz = 0, \quad \int_1^l U_2(z, \tau) dz = 0 \quad (6)$$

($\rho = \rho_2/\rho_1$; $l = l_2/l_{10} > 1$; $\mu = \rho\nu$). Граничные условия (4), (5), содержащие параметр разделения ψ , означают отсутствие переноса вещества через твердую стенку и поверхность раздела соответственно.

Дополним задачу начальными условиями

$$U_j(y, 0) = 0, \quad V_j(y, 0) = 0, \quad A_j(y, 0) = A_j^0(y), \quad B_j(y, 0) = B_j^0(y), \\ H_1(y, 0) = H_1^0(y), \quad E_1(y, 0) = E_1^0(y).$$

Поскольку наибольший интерес представляет анализ влияния поверхностных сил на движение, начальные условия для скоростей без ограничения общности будем считать нулевыми.

Интегральные условия (6) следуют из условия неподвижности границы раздела $\eta = 1$ и уравнений сохранения массы, поскольку

$$V_1 = - \int_0^\eta U_1(z, \tau) dz, \quad V_2 = - \int_\eta^l U_2(z, \tau) dz; \quad (7)$$

$$V_1(1, \tau) = V_2(1, \tau) = 0.$$

Заметим, что поставленная задача является обратной, так как функции $S_j(\tau)$ должны находиться одновременно с функциями $A_j(\eta, \tau)$, $B_j(\eta, \tau)$, $U_j(\eta, \tau)$. Сначала определяются функции A_j , затем — H_1 и U_j , а на последнем этапе — продольные градиенты давлений $S_j(\tau)$ из равенств (6). Функции E_1 , B_j не оказывают влияния на поле скоростей, а вертикальные скорости в слоях находятся из равенств (7). В силу представления (2) температура на стенках в точке $\xi = 0$ ($x = 0$) имеет минимум при $A_{j0}(\tau) > 0$ либо максимум при $A_{j0}(\tau) < 0$. В силу эффекта Марангони жидкость и смесь могут двигаться однонаправленно или в противоположных направлениях. Заметим, что характерный перепад температур описывается условием $\Delta\theta = l_{10}^2 \Delta A$, где $\Delta A = \max_{t \geq 0} |A_{20}(t) - A_{10}(t)| > 0$. Можно полагать, что при $A_{20}(t) = A_{10}(t)$ $\Delta A = \max_j \max_y |A_{j0}(y)| > 0$.

Стационарное течение. Задача (3)–(6) имеет соответствующее постоянным A_{j0} , B_{j0} ($j = 1, 2$) стационарное решение, для которого введем обозначения $A_j^c(\eta)$, $H_1^c(\eta)$, $U_j^c(\eta)$, S_j^c , $B_j^c(\eta)$, $E_1^c(\eta)$. Проведя вычисления, получаем следующие формулы (приведены лишь функции, описывающие гидродинамику течения (конвекцию)):

$$A_1^c(\eta) = a_1\eta + A_{10}, \quad A_2^c(\eta) = \frac{a_1}{k}(\eta - l) + A_{20}, \\ U_1^c(\eta) = \frac{S_1^c}{2}\eta^2 + a_2\eta, \quad U_2^c(\eta) = \frac{1}{\nu} \left(\frac{S_2^c}{2}\eta^2 + a_3\eta + a_4 \right), \quad (8) \\ H_1^c(\eta) = \psi A_1^c.$$

Здесь

$$a_1 = \frac{k}{k+l-1} (A_{20} - A_{10}), \quad a_2 = \frac{(1-l)(1+\omega\psi)(a_1 + A_{10})}{\mu + l - 1} \equiv (1-l)n, \\ a_3 = -\frac{\nu(2l+1)n}{l-1}, \quad a_4 = \frac{\nu l(l+2)n}{2(l-1)}, \quad S_1^c = 3(l-1)n, \quad S_2^c = \frac{3\nu n}{l-1}.$$

Из (7) находим вертикальные компоненты скоростей

$$V_1^c(\eta) = -\frac{S_1^c}{6} \eta^3 - \frac{a_2 \eta^2}{2}, \quad V_2^c(\eta) = \frac{1}{\nu} \left(\frac{S_2^c}{6} (\eta^3 - l^3) + \frac{a_3}{2} (\eta^2 - l^2) + a_4 (\eta - l) \right). \quad (9)$$

Решение в изображениях по Лапласу. Сопряженная начально-краевая задача (3)–(6) интегрируется в квадратурах в пространстве изображений по Лапласу, что позволяет для конкретных жидких сред получить количественные характеристики движения. Пусть выражение

$$\hat{u}(y, p) = \int_0^\infty e^{-pt} u(y, t) dt$$

является преобразованием Лапласа функции $u(y, t)$ (область его применения см., например, в [12]). В образах по Лапласу рассматриваемая задача сводится к сопряженной краевой задаче для обыкновенных дифференциальных уравнений и имеет решение в виде

$$\hat{A}_1(\eta, p) = C_1^1 \operatorname{sh} \sqrt{p \operatorname{Pr}_1} \eta + C_1^2 \operatorname{ch} \sqrt{p \operatorname{Pr}_1} \eta - \sqrt{\frac{\operatorname{Pr}_1}{p}} \int_0^\eta A_1^0(z) \operatorname{sh} \sqrt{p \operatorname{Pr}_1} (\eta - z) dz, \quad (10)$$

$$\hat{A}_2(\eta, p) = C_2^1 \operatorname{sh} \sqrt{\frac{p \operatorname{Pr}_2}{\nu}} \eta + C_2^2 \operatorname{ch} \sqrt{\frac{p \operatorname{Pr}_2}{\nu}} \eta - \sqrt{\frac{\operatorname{Pr}_2}{\nu p}} \int_1^\eta A_2^0(z) \operatorname{sh} \sqrt{\frac{p \operatorname{Pr}_2}{\nu}} (\eta - z) dz;$$

$$\begin{aligned} \hat{H}_1(\eta, p) &= \psi \hat{A}_1(\eta, p) + \sqrt{\frac{\operatorname{Sc}}{p}} \int_0^\eta [\psi(p \hat{A}_1(z, p) - A_1^0(z)) - H_1^0(z)] \operatorname{sh} \sqrt{p \operatorname{Sc}} (\eta - z) dz - \\ &- \frac{1}{\operatorname{sh} \sqrt{p \operatorname{Sc}}} \sqrt{\frac{\operatorname{Sc}}{p}} \int_0^1 [\psi(p \hat{A}_1(z, p) - A_1^0(z)) - H_1^0(z)] \operatorname{ch} \sqrt{p \operatorname{Sc}} (1 - z) dz \operatorname{ch} \sqrt{p \operatorname{Sc}} \eta; \quad (11) \end{aligned}$$

$$\hat{U}_1(\eta, p) = D_1^1 \operatorname{sh} \sqrt{p} \eta + D_1^2 \operatorname{ch} \sqrt{p} \eta - \hat{S}_1(p)/p, \quad (12)$$

$$\hat{U}_2(\eta, p) = D_2^1 \operatorname{sh} \sqrt{p/\nu} \eta + D_2^2 \operatorname{ch} \sqrt{p/\nu} \eta - \hat{S}_2(p)/p.$$

При этом

$$C_1^1 = \frac{1}{\Delta} \left[\frac{k}{\sqrt{\chi}} \left(\operatorname{ch} \sqrt{\frac{p \operatorname{Pr}_2}{\nu}} (l - 1) F_1 + F_2 \right) + \operatorname{sh} \sqrt{\frac{p \operatorname{Pr}_2}{\nu}} (l - 1) F_3 \right], \quad C_1^2 = \hat{A}_{10}(p),$$

$$\begin{aligned} C_2^1 &= \frac{1}{\Delta} \left[\operatorname{ch} \sqrt{p \operatorname{Pr}_1} \operatorname{ch} \sqrt{\frac{p \operatorname{Pr}_2}{\nu}} l F_1 + \left(\operatorname{ch} \sqrt{p \operatorname{Pr}_1} \operatorname{ch} \sqrt{\frac{p \operatorname{Pr}_2}{\nu}} - \right. \right. \\ &\quad \left. \left. - \frac{k}{\sqrt{\chi}} \operatorname{sh} \sqrt{p \operatorname{Pr}_1} \operatorname{sh} \sqrt{\frac{p \operatorname{Pr}_2}{\nu}} \right) F_2 - \operatorname{sh} \sqrt{p \operatorname{Pr}_1} \operatorname{ch} \sqrt{\frac{p \operatorname{Pr}_2}{\nu}} F_3 \right], \quad (13) \end{aligned}$$

$$\begin{aligned} C_2^2 &= \frac{1}{\Delta} \left[-\operatorname{ch} \sqrt{p \operatorname{Pr}_1} \operatorname{sh} \sqrt{\frac{p \operatorname{Pr}_2}{\nu}} l F_1 + \left(\frac{k}{\sqrt{\chi}} \operatorname{sh} \sqrt{p \operatorname{Pr}_1} \operatorname{ch} \sqrt{\frac{p \operatorname{Pr}_2}{\nu}} - \right. \right. \\ &\quad \left. \left. - \operatorname{sh} \sqrt{\frac{p \operatorname{Pr}_2}{\nu}} \operatorname{ch} \sqrt{p \operatorname{Pr}_1} \right) F_2 + \operatorname{sh} \sqrt{p \operatorname{Pr}_1} \operatorname{sh} \sqrt{\frac{p \operatorname{Pr}_2}{\nu}} l F_3 \right]; \end{aligned}$$

$$F_1 = -\hat{A}_{10}(p) \operatorname{ch} \sqrt{p \operatorname{Pr}_1} + \sqrt{\frac{\operatorname{Pr}_1}{p}} \int_0^1 A_1^0(z) \operatorname{sh} \sqrt{p \operatorname{Pr}_1} (1-z) dz,$$

$$F_2 = \hat{A}_{20}(p) + \sqrt{\frac{\operatorname{Pr}_2}{\nu p}} \int_1^l A_2^0(z) \operatorname{sh} \sqrt{\frac{\operatorname{Pr}_2}{\nu}} (l-z) dz, \quad (14)$$

$$F_3 = -\hat{A}_{10}(p) \operatorname{sh} \sqrt{p \operatorname{Pr}_1} + \sqrt{\frac{\operatorname{Pr}_1}{p}} \int_0^1 A_1^0(z) \operatorname{ch} \sqrt{p \operatorname{Pr}_2} (1-z) dz;$$

$$D_1^1 = -\frac{1}{\Delta_1} \left\{ \left[\frac{\mu}{\sqrt{\nu}} (1 - \operatorname{ch} \sqrt{p}) \operatorname{ch} \sqrt{\frac{p}{\nu}} (l-1) - \operatorname{sh} \sqrt{p} \operatorname{sh} \sqrt{\frac{p}{\nu}} (l-1) \right] \frac{\hat{S}_1(p)}{p} + \right.$$

$$\left. + \frac{\mu}{\sqrt{\nu}} \left[1 - \operatorname{ch} \sqrt{\frac{p}{\nu}} (l-1) \right] \frac{\hat{S}_2(p)}{p} + \frac{1}{\sqrt{p}} \operatorname{sh} \sqrt{\frac{p}{\nu}} (l-1) L \right\}, \quad D_1^2 = \frac{\hat{S}_1(p)}{p},$$

$$D_2^1 = \frac{1}{\Delta_1} \left\{ \operatorname{ch} \sqrt{\frac{p}{\nu}} l (1 - \operatorname{ch} \sqrt{p}) \frac{\hat{S}_1(p)}{p} + \left[\frac{\operatorname{ch} \sqrt{p}}{\nu} \left(\operatorname{ch} \sqrt{\frac{p}{\nu}} - \operatorname{ch} \sqrt{\frac{p}{\nu}} l \right) + \right.$$

$$\left. + \frac{\mu}{\sqrt{\nu}} \operatorname{sh} \sqrt{p} \operatorname{sh} \sqrt{\frac{p}{\nu}} \right] \frac{\hat{S}_2(p)}{p} + \frac{\operatorname{sh} \sqrt{p}}{\sqrt{p}} \operatorname{ch} \sqrt{\frac{p}{\nu}} l L \right\}, \quad (15)$$

$$D_2^2 = \frac{1}{\Delta_1} \left\{ \operatorname{sh} \sqrt{\frac{p}{\nu}} l (\operatorname{ch} \sqrt{p} - 1) \frac{\hat{S}_1(p)}{p} + \left[\frac{\operatorname{ch} \sqrt{p}}{\nu} \left(\operatorname{sh} \sqrt{\frac{p}{\nu}} - \operatorname{sh} \sqrt{\frac{p}{\nu}} l \right) - \right.$$

$$\left. - \frac{\mu}{\sqrt{\nu}} \operatorname{sh} \sqrt{p} \operatorname{ch} \sqrt{\frac{p}{\nu}} \right] \frac{\hat{S}_2(p)}{p} - \frac{\operatorname{sh} \sqrt{p}}{\sqrt{p}} \operatorname{sh} \sqrt{\frac{p}{\nu}} l L \right\};$$

$$L = 2\hat{A}_1(1, p) + 2\omega\hat{H}_1(1, p), \quad (16)$$

$$\Delta_1 = -\frac{\mu}{\sqrt{\nu}} \operatorname{sh} \sqrt{p} \operatorname{ch} \sqrt{\frac{p}{\nu}} (l-1) - \operatorname{ch} \sqrt{p} \operatorname{sh} \sqrt{\frac{p}{\nu}} (l-1);$$

$$\hat{S}_1(p) = \frac{\sqrt{p} L}{Q_1 Q_4 - Q_2 Q_3} \left[\operatorname{sh} \sqrt{\frac{p}{\nu}} (l-1) (\operatorname{ch} \sqrt{p} - 1) Q_4 - \operatorname{sh} \sqrt{p} \left(\operatorname{ch} \sqrt{\frac{p}{\nu}} (l-1) - 1 \right) Q_2 \right], \quad (17)$$

$$\hat{S}_2(p) = \frac{\sqrt{p} L}{Q_1 Q_4 - Q_2 Q_3} \left[\operatorname{sh} \sqrt{p} \left(\operatorname{ch} \sqrt{\frac{p}{\nu}} (l-1) - 1 \right) Q_1 - \operatorname{sh} \sqrt{\frac{p}{\nu}} (l-1) (\operatorname{ch} \sqrt{p} - 1) Q_3 \right];$$

$$Q_1 = \Delta_1 (\operatorname{sh} \sqrt{p} - \sqrt{p}) + (1 - \operatorname{ch} \sqrt{p}) \left(\frac{\mu}{\sqrt{\nu}} (1 - \operatorname{ch} \sqrt{p}) \operatorname{ch} \sqrt{\frac{p}{\nu}} (l-1) - \operatorname{sh} \sqrt{p} \operatorname{sh} \sqrt{\frac{p}{\nu}} (l-1) \right),$$

$$Q_2 = \frac{\mu}{\sqrt{\nu}} Q_3, \quad Q_3 = (\operatorname{ch} \sqrt{p} - 1) \left(\operatorname{ch} \sqrt{\frac{p}{\nu}} (l-1) - 1 \right), \quad (18)$$

$$Q_4 = 2 \operatorname{ch} \sqrt{p} \left(1 - \operatorname{ch} \sqrt{\frac{p}{\nu}} (l-1) \right) - \frac{\mu}{\sqrt{\nu}} \operatorname{sh} \sqrt{p} \operatorname{sh} \sqrt{\frac{p}{\nu}} (l-1) - \Delta_1 \sqrt{\frac{p}{\nu}} (l-1),$$

где

$$\chi = \frac{\chi_2}{\chi_1}, \quad \Delta = \frac{k}{\sqrt{\chi}} \operatorname{sh} \sqrt{p \operatorname{Pr}_1} \operatorname{ch} \sqrt{\frac{p \operatorname{Pr}_2}{\nu}} (l-1) + \operatorname{ch} \sqrt{p \operatorname{Pr}_1} \operatorname{sh} \sqrt{\frac{p \operatorname{Pr}_2}{\nu}} (l-1).$$

Пусть

$$\lim_{\tau \rightarrow \infty} A_{j0}(\tau) = A_j^0 = \text{const}. \quad (19)$$

Тогда, проведя вычисления с использованием явных выражений (10)–(18) можно установить предельные равенства

$$\begin{aligned} \lim_{p \rightarrow 0} p\hat{A}_j(\eta, p) &= A_j^c(\eta), & \lim_{p \rightarrow 0} \hat{H}_1(\eta, p) &= H_1^c(\eta), \\ \lim_{p \rightarrow 0} p\hat{U}_j(\eta, p) &= U_j^c(\eta), & \lim_{p \rightarrow 0} p\hat{S}_j(p) &= S_j^c, \end{aligned} \quad (20)$$

где правые части представляют собой стационарное решение (8).

Согласно [12] равенства (20) показывают, что при $\tau \rightarrow \infty$ нестационарное решение $A_j(\eta, \tau)$, $H_1(\eta, \tau)$, $U_j(\eta, \tau)$, $S_j(\tau)$ стремится к стационарному режиму (8), если выполняются условия (19).

ЗАМЕЧАНИЕ 1. При выполнении условий (19) с увеличением безразмерного времени τ функции $B_j(\eta, \tau)$, $E_j(\eta, \tau)$, $V_j(\eta, \tau)$ также выходят на стационарные значения.

ЗАМЕЧАНИЕ 2. Используя метод априорных оценок [13], можно доказать, что

$$\begin{aligned} |A_j(\eta, \tau) - A_j^c(\eta)| &\leq N_j e^{-\delta\tau}, & |H_1(\eta, \tau) - H_1^c(\eta)| &\leq N_3 e^{-\delta_1\tau}, \\ |U_j(\eta, \tau) - U_j^c(\eta)| &\leq K_j e^{-\delta_2\tau}, & |S_j(\tau) - S_j^c| &\leq K_3 e^{-\delta_3\tau}, \end{aligned} \quad (21)$$

если сходятся интегралы

$$\int_0^\infty |A_{j0}(\tau) - A_j^0| e^{\delta\tau} d\tau, \quad \int_0^\infty |A_{j0}^{(k)}(\tau)| e^{\delta\tau} d\tau, \quad k = 1, 2. \quad (22)$$

В (21) N_j , N_3 , K_j , K_3 , δ , δ_1 , δ_2 , δ_3 — положительные постоянные, зависящие от параметров жидкости, бинарной смеси и толщины слоев. Условия (22) означают, что функции $A_{j0}(\tau)$ стремятся по экспоненте с показателем $-\delta$ к постоянным предельным значениям. Полученные явные формулы (10)–(18) описывают также эволюцию движения для функций $A_{j0}(\tau)$, не удовлетворяющих условиям (22). Более того, функции $A_{j0}(\tau)$ могут иметь конечное число разрывов первого рода [12, 13],

Результаты численных расчетов. С использованием формул в изображениях по Лапласу (10)–(12) численно найдены поля скоростей, температур и концентрации. Использовалась модельная система с параметрами $\text{Pr}_1 = 29$, $\text{Pr}_2 = 1,52$, $\rho = 0,945$, $\nu = 7,1$, $k = 0,42$, $\psi = 1,49$, $\omega = -0,65$, $l_1 = 0,001$, $l_2 = 0,002$.

На рис. 1 представлены профили функций $U(\eta)$, $V(\eta)$ для стационарного случая, когда $A_{20} = 0$, $A_{10} < 0$, т. е. температура имеет максимум на нижней твердой стенке в точке $\xi = 0$.

Вертикальная компонента скорости в нижнем слое положительна, горизонтальная меняет знак, следовательно, жидкость в нижнем слое при $\xi = 0$ движется вертикально вверх вдоль оси η . Этот вывод согласуется с рис. 2, на котором показано векторное поле скоростей $u = U(\eta)\xi$, $v = V(\eta)$ стационарного течения, описываемого формулами (8), (9), при $A_{20} = 0$, $A_{10} < 0$.

На рис. 3, 4 представлены профили безразмерных компонент U , V скорости потока в различные моменты времени. Положим, что $A_{10} = b_1 + b_2 \exp(-b_3\tau) \sin(b_4\tau)$ (b_2 — амплитуда, b_4 — частота), причем при $b_3 > 0$ и больших временах выполняется условие (19). На рис. 3 показано изменение во времени функций $U(\eta, \tau)$, $V(\eta, \tau)$ при $A_{10} = 3 + \exp(-0,05\tau) \sin(0,5\tau)$, $A_{20} = 0$. Со временем безразмерные компоненты U , V

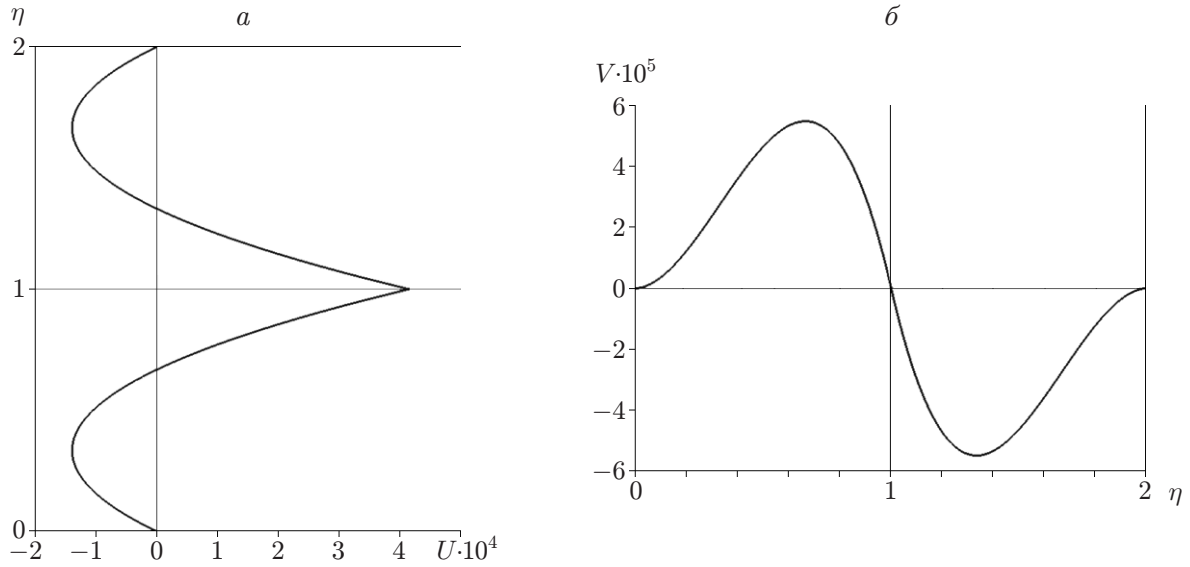


Рис. 1. Профили функций $U(\eta)$ (а) и $V(\eta)$ (б) в стационарном случае при $A_{20} = 0, A_{10} < 0$

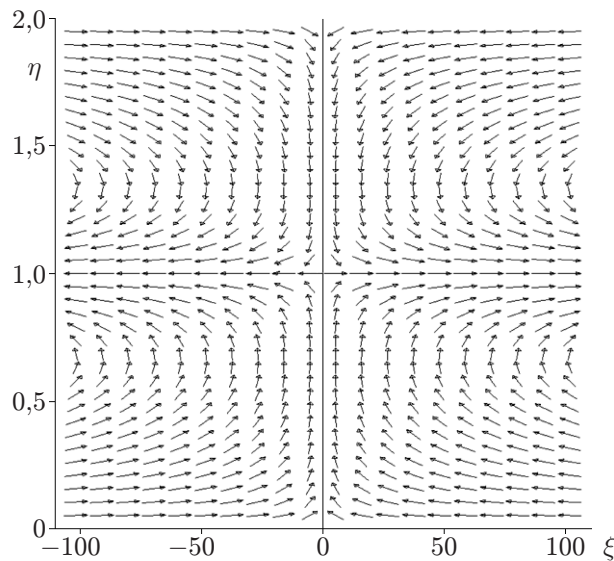


Рис. 2. Стационарное векторное поле $u = U(\eta)\xi, v = V(\eta)$ при $A_{20} = 0, A_{10} < 0$

скорости выходят на стационарный режим (кривая 1), что согласуется с априорными оценками (21). С ростом $|b_1|$ увеличивается интенсивность потока вблизи поверхности раздела.

Рассмотрим случай, когда условия (19) не выполняются ($b_3 \leq 0$). В предположении, что $A_{10} = 2 \sin(0,1\tau)$, выхода на стационарный режим не происходит, наблюдается смена направления движения (см. рис. 4) в различные моменты времени.

На рис. 5 представлена зависимость градиента поверхностного натяжения на поверхности раздела $\eta = 1$ от времени $\sigma_\xi = -2(\kappa_1 A_1(1, \tau) + \kappa_2 H_1(1, \tau))\xi$ при $\xi = 1$. Видно, что при выполнении условий (19) со временем градиент поверхностного натяжения стремится к постоянному значению (см. рис. 5,а), вследствие чего термокапиллярные силы уравновешиваются и движение устанавливается. Если со временем градиент поверхност-

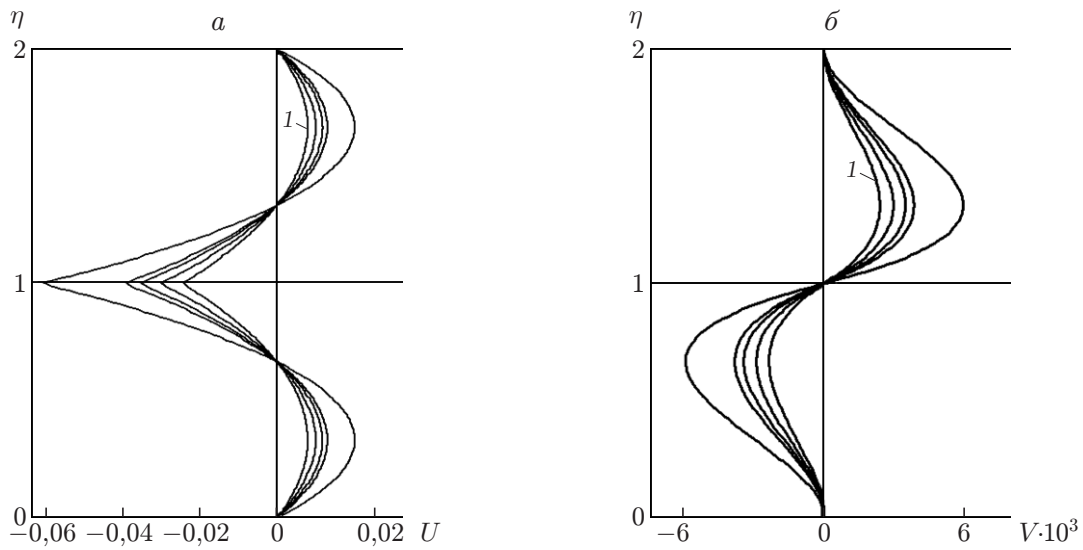


Рис. 3. Профили функций U (а), V (б) в различные моменты времени при $A_{10} = 3 + \exp(-0,05\tau) \sin(0,5\tau)$, $A_{20} = 0$:
 1 — выход на стационарный режим

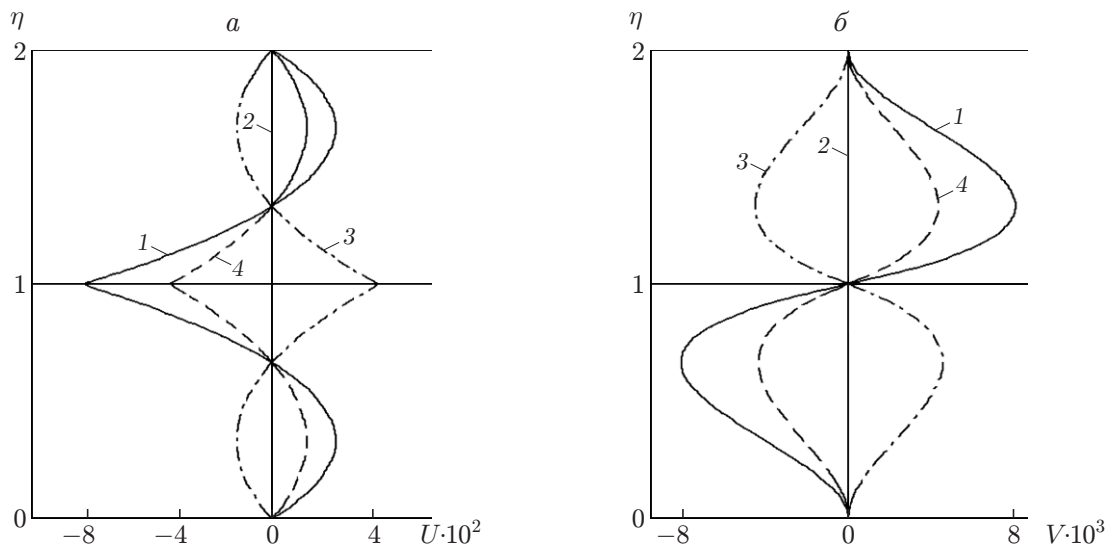


Рис. 4. Профили функций U (а), V (б) в различные моменты времени при $A_{10} = 2 \sin(0,1\tau)$, $A_{20} = 0$ (нестационарный режим):
 1 — $\tau = 10$, 2 — $\tau = 25$, 3 — $\tau = 30$, 4 — $\tau = 60$

ного натяжения не стабилизируется, что характерно, например, для тригонометрической зависимости A_{10} , то вследствие изменения знака градиента σ_ξ меняется направление движения жидкости, а при $\sigma_\xi = 0$ капиллярные и концентрационные силы уравниваются и движение прекращается.

Заключение. В работе получено точное решение уравнений конвекции в системе, состоящей из двух слоев несмешивающихся жидкостей при малых числах Марангони. В случае стационарной конвекции решение найдено в виде аналитических формул. Для решения нестационарной задачи использован метод Лапласа. Построено аналитическое решение задачи для определения поля скоростей, температур и концентрации в изображениях по Лапласу. Истинные поля скорости, температуры и концентрации для модельной

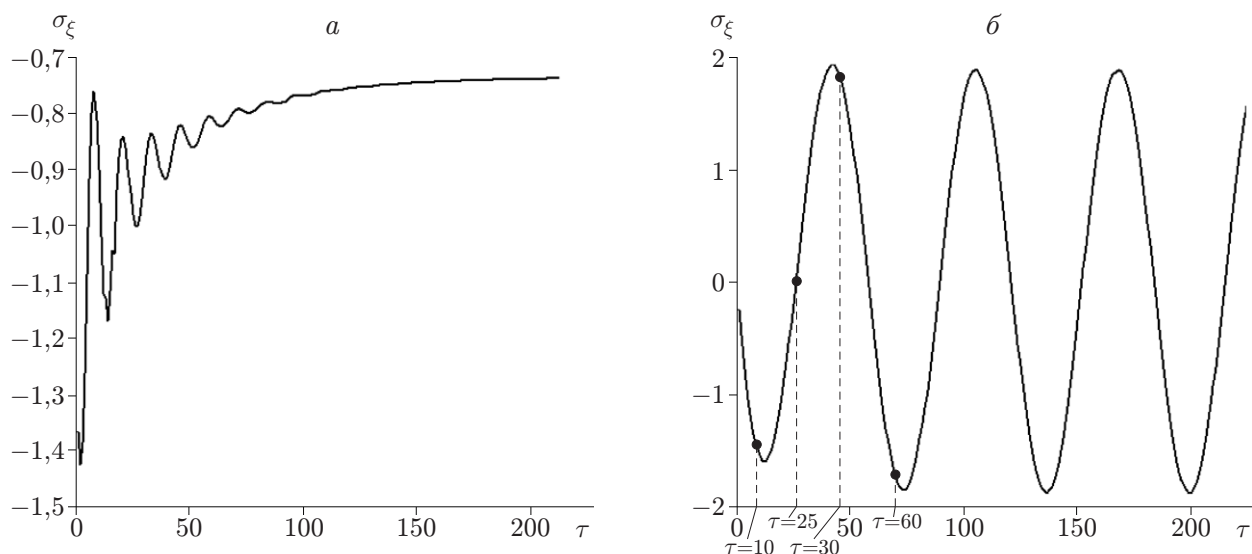


Рис. 5. Зависимость градиента поверхностного натяжения от времени при различных A_{10} :
 a — $A_{10} = 3 + \exp(-0,05\tau) \sin(0,5\tau)$, b — $A_{10} = 2 \sin(0,1\tau)$

системы восстановлены с помощью численного обращения преобразования Лапласа. Результаты расчетов показывают, что термоконцентрационные силы порождают сложное циркуляционное движение в слоях, причем поток меняет направление по толщине слоя. Поток симметричен относительно оси $x = 0$, на которой точка $y = 0$ является точкой максимума или минимума температуры на твердой стенке. Полученные результаты можно использовать для описания двухфазных систем в микроканалах и процессов охлаждения пленок потоками жидкости или газа.

ЛИТЕРАТУРА

1. **Андреев В. К.** Термокапиллярная неустойчивость / В. К. Андреев, В. Е. Захватаев, Е. А. Рябицкий. Новосибирск: Наука. Сиб. издат. фирма, 2000.
2. **Андреев В. К.** Эволюция совместного движения двух вязких теплопроводных жидкостей в плоском слое под действием нестационарного перепада давления // ПМТФ. 2008. Т. 49, № 4. С. 94–107.
3. **Собачкина Н. Л.** О совместном движении бинарной смеси и вязкой жидкости в теплоизолированной цилиндрической трубе // Вычисл. технологии. 2011. Т. 16, № 4. С. 120–133.
4. **Лемешкова Е. Н.** Прямая и обратная задача о совместном движении трех вязких жидкостей в плоских слоях // Журн. Сиб. федер. ун-та. Сер. Математика и физика. 2011. Т. 4, № 3. С. 363–370.
5. **Hiemenz K.** Die Grenzschicht an einem in den gleichförmigen Flüssigkeitsstrom eingetauchten geraden Kreiszyylinder // Dingers Polytech. J. 1911. Bd 3326. S. 321–324.
6. **Brady J. F., Acrivos A.** Steady flow in a channel or tube with an accelerating surface velocity // J. Fluid Mech. 1981. V. 112. P. 127–150.
7. **Riabouchinsky D.** Quelques considerations sur les mouvements plans rotationnels d'un liquide // C. R. Acad. Sci. 1924. V. 179. P. 1133–1136.
8. **Петров А. Г.** Точное решение уравнений Навье — Стокса в слое жидкости между движущимися параллельно пластинами // ПМТФ. 2012. Т. 53, № 5. С. 13–18.

9. **Петров А. Г.** Построение решений уравнений Навье — Стокса для слоя жидкости между движущимися параллельными пластинами при малых и умеренных числах Рейнольдса // ПМТФ. 2013. Т. 54, № 1. С. 51–56.
10. **Петрова А. Г., Пухначев В. В., Фроловская О. А.** Нестационарное движение вблизи критической точки // Успехи механики сплошных сред: Сб. докл. междунар. конф., приуроч. к 75-летию акад. В. А. Левина, Владивосток, 28 сент. — 4 окт. 2014 г. Иркутск: Мегапринт, 2014. С. 385–388.
11. **Пухначев В. В.** Групповые свойства уравнений Навье — Стокса в плоском случае // ПМТФ. 1960. № 1. С. 83–90.
12. **Лаврентьев М. А.** Методы теории функций комплексного переменного / М. А. Лаврентьев, Б. В. Шабат. М.: Наука, 1973.
13. **Андреев В. К., Черемных Е. Н.** Совместное ползущее движение трех вязких жидкостей в плоском слое: априорные оценки и сходимость к стационарному режиму // Сиб. журн. индустр. математики. 2016. Т. 19, № 1. С. 3–17.

*Поступила в редакцию 15/VI 2017 г.,
в окончательном варианте — 29/XI 2017 г.*
